

Progetto: CHEESR - Conservation, Health and Efficiency Empowerment of Small Ruminants
Analisi statistica del fenotipo normalizzato (lnFEC+2), indici genetici per la selezione alla
resistenza ai parassiti gastro-intestinali e indagine genetica sull'origine della resistenza

Dipartimento Agricoltura, Ambiente e Alimenti

Università degli studi del Molise

25/06/2021

Azione 7: Valutazione ed individuazione di caratteri di resistenza genetica alle principali malattie di interesse zootecnico

Al fine di sviluppare metodologie di selezione genetica per la resistenza a caratteri legati al benessere, sono stati raccolti in stazione sperimentale (Centro Genetico di Ovinicoltura di Asciano – Siena) informazioni sui nematodi gastrointestinali, misurati attraverso la conta delle uova per grammo di fegato (Faecal Eggs Count, FEC) rilevata all'esame copro-microscopico quali-quantitativo (metodo McMaster secondo Raynaud, 1970 e metodo Flotac).

Attività 7.1:

Le feci di un campione rappresentativo degli animali della stazione di controllo sono state prelevate e successivamente analizzate, al fine di valutare gli agenti eziologici e il grado delle parassitosi presenti nel gregge per poter programmare il successivo campionamento. Nello specifico questo campionamento preliminare, effettuato dai ricercatori del Centro Regionale per il Monitoraggio delle Parassitosi (CREMOPAR - UniNa), è consistito nel prelievo di 399 campioni di fegato da animali scelti casualmente, allo scopo di individuare le specie di endoparassiti che infestano gli animali del Centro Genetico di Asciano. I parassiti più rappresentati sono risultati essere Coccidi (*Eimeria* spp.) e Strongili gastro-intestinali.

In seguito a questa indagine, sono stati predisposti sei campionamenti per indagare sull'andamento stagionale dell'infestazione nelle due razze presenti nella stazione di controllo, Comisana e Massese. Gli animali da cui prelevare campioni coprologici sono stati scelti fra quelli destinati alla produzione di rimonta, per i primi due campionamenti (estivo e autunnale), mentre per il terzo campionamento (invernale), sono state campionate tutte le femmine presenti in azienda per entrambe le razze. Per i restanti campionamenti è stato scelto di prelevare le feci dagli stessi animali coinvolti nei precedenti. Non è stato possibile effettuare il campionamento primaverile e quello autunnale durante il 2020 a causa della difficoltà di spostamento causata dall'emergenza epidemiologica in corso. Le sessioni di campionamento, successive a quello preliminare di cui sopra, sono avvenute presso il centro genetico di Asciano rispettivamente a Marzo 2019, Luglio 2019 e Gennaio 2020, Luglio 2020, Gennaio 2021 e Maggio 2021. Per cui, escludendo i 399 campioni utilizzati per l'indagine preliminare, ai fini di questo studio sono stati considerati un totale di 2473 campioni su un totale di 2872. In *Tabella 1* sono riportate le numerosità dei campionamenti

e in *Tabella 2* sono riportate le numerosità dei sei campionamenti utilizzati nell'indagine, divisi per le due razze.

PREL	n
0	399
1	253
2	215
3	794
4	471
5	414
6	326

Tabella 1: numerosità dei sei campionamenti al netto dei campioni scartati

PREL	RAZZA	n
1	Comisana	127
2	Comisana	114
3	Comisana	544
4	Comisana	293
5	Comisana	262
6	Comisana	241
1	Massese	126
2	Massese	101
3	Massese	250
4	Massese	178
5	Massese	152
6	Massese	85

Tabella 2: numerosità dei sei campionamenti divisi nelle due razze

I campioni coprologici sono stati raccolti individualmente dall'ampolla rettale, al fine di evitare la contaminazione con uova di parassiti presenti nella lettiera, e successivamente inviati al Centro Regionale per il Monitoraggio delle Parassitosi (UniNa). I dati relativi alle conte delle uova (Faecal Eggs Count), effettuate dai tecnici del CREMOPAR, sono stati trasmessi sotto forma di files Excel al laboratorio di Miglioramento Genetico del Dipartimento di Agricoltura, Ambiente e Alimenti (DipAAA - UniMol). Così come previsto da crono-programma, i campionamenti sono riconducibili ai seguenti 3 step:

1. 2017: 500 campioni
 2. 2018: 1074 campioni
 3. 2019-2021: 1298 campioni
- Totale: 2872 campioni

Attività 7.2.1: Analisi statistica del fenotipo

I dati ricevuti dal CREMOPAR sono stati inseriti in un unico dataset. Ad ogni singolo soggetto per cui è stato effettuato un prelievo di feci, sono state assegnate ulteriori informazioni quali: la razza, l'età alla data di campionamento e il numero di parti effettuati. Queste informazioni sono state recuperate attraverso i dati anagrafici presenti in banca dati ASSONAPA.

Dato l'alto numero di campioni in cui non è stata rilevata la presenza dei parassiti ($FEC = 0$), la distribuzione dei dati appare avere una forte asimmetria positiva. Al fine di normalizzare la distribuzione delle FEC è stata effettuata una trasformazione logaritmica $\ln(FEC+2)$. In Figura 1,2,3,4 sono visibili i density plot che mostrano la distribuzione dei dati di conta nei due parassiti prima e dopo la trasformazione logaritmica, mentre in *Figura 5* è possibile vedere le prime 5 righe del dataset ottenuto.

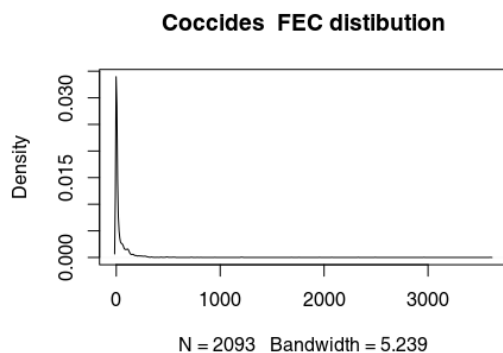


Figura 1: Distribuzione FEC Coccidi

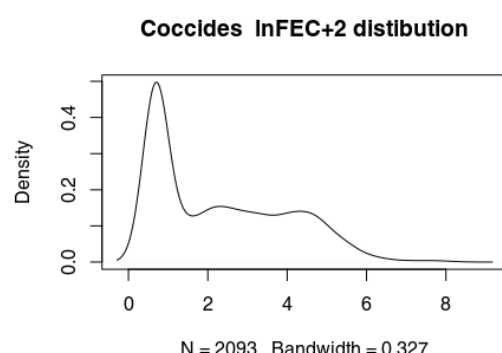


Figura 2: Distribuzione FEC normalizzate “ $\ln(FEC+2)$ ” Coccidi

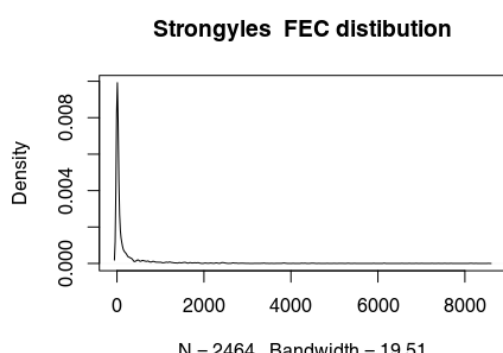


Figura 3: Distribuzione FEC Strongili gastro-intestinali

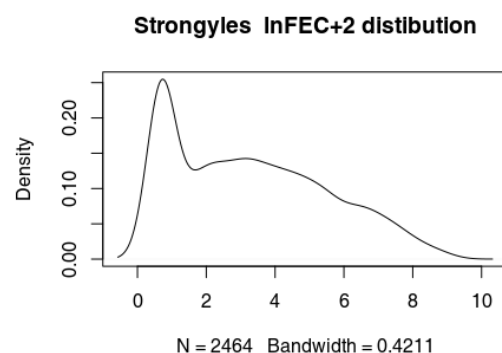


Figura 4: Distribuzione FEC normalizzati “ $\ln(FEC+2)$ ” Strongili gastro-intestinali

MATRICOLA	DT NASCITA	SEX	COD RAZ	RAZZA	PREL	DATA PREL	ETA PREL GG	ETA PREL ANNI	CLASSE ETA	COX	SGI	positivo_COX	positivo_SGI	Infec_COX	Infec_SGI	month	season	numDam	parti	OP
IT052000858029	2011-02-17	F	24	COMISANA	1	2019-03-21	2954	8	6+	0	8	N	Y	0,69314718	2,3025851	3	spring	734621	1	1
IT052000874320	2011-11-30	F	24	COMISANA	1	2019-03-21	2668	7	6+	0	2	N	Y	0,69314718	1,3862944	3	spring	732455	9	5+
IT052000874011	2011-11-19	F	24	COMISANA	1	2019-03-21	2679	7	6+	0	44	N	Y	0,69314718	3,8286414	3	spring	731152	2	2
IT052000873971	2011-11-16	F	24	COMISANA	1	2019-03-21	2682	7	6+	8	92	Y	Y	2,30258509	4,5432948	3	spring	731144	2	2
IT052000874000	2011-11-23	F	24	COMISANA	1	2019-03-21	2675	7	6+	0	18	N	Y	0,69314718	2,9957323	3	spring	728720	11	5+

Figura 5: Prime 5 osservazioni del dataset ottenuto che ne comprende 2473

Le analisi del fenotipo $\ln(\text{FEC}+2)$ sono state eseguite prendendo in considerazione le seguenti variabili: genere di nematode, razza, età e ordine di prelievo. Attraverso questi confronti, consultabili nei grafici riportati a seguire, è possibile osservare che la media e la prevalenza di entrambi i parassiti varia sensibilmente al variare dell'età. Ciò ci permette di ipotizzare un fenomeno di immunità acquisita dagli animali nei confronti delle due specie di parassiti. La stagionalità risulta essere più marcata nell'infestazione da Strongili, in cui si osserva un picco in estate, e appare pressoché nulla per quanto riguarda i Coccidi. È inoltre possibile notare come i campionamenti di luglio (2 e 4) e Gennaio (3 e 5) dei due diversi anni abbiano medie sensibilmente distanti tra loro, effetto probabilmente dovuto a una diversa gestione del pascolo nei due anni (*Figura 6* e in *Figura 8*). È inoltre apprezzabile un effetto della stagione sul grado di infestazione sia da Strongili che da Coccidi (*Figura 7* e *Figura 9*).

In ogni caso i valori di FEC osservati nella razza Comisana appaiono più variabili rispetto a quelli osservati negli animali di razza Massese (*Tabella 3*). Infine, per entrambe le specie di parassiti, l'infezione risulta essere più marcata negli ovini di razza Comisana rispetto a quelli di razza Massese. Questo ci permette pertanto di ipotizzare l'esistenza di una possibile resistenza di tipo genetico all'infestazione sia da Strongili gastro-intestinali che da Coccidi (*Tabelle 4 e 5; Figure 9 e 10*). L'evidenza di una maggior resistenza alle due parassitosi da parte di una razza piuttosto che l'altra, crea le basi per poter ipotizzare un ruolo nella genetica alla resistenza ai nematodi gastro-intestinali.

razza	fenotipo	n	mean	sd	median	trimmed	mad	min	max	range	skew	kurtosis	se
Comisana	$\ln(\text{FEC}+2)$ Cox	1357	2,52	1,77	2,3	2,36	2,39	0,69	8,19	7,5	0,46	-0,99	0,05
Massese	$\ln(\text{FEC}+2)$ Cox	736	1,9	1,41	1,39	1,7	1,03	0,69	7,99	7,3	0,97	0,16	0,05
Comisana	$\ln(\text{FEC}+2)$ SGI	1578	3,75	2,37	3,74	3,62	2,89	0,69	9,05	8,36	0,2	-1,11	0,06
Massese	$\ln(\text{FEC}+2)$ SGI	886	2,52	1,7	2,3	2,32	2,39	0,69	8,84	8,14	0,71	-0,13	0,06

Tabella 3: Statistiche descrittive dei due fenotipi normalizzati nelle due razze

term	df	sumsq	meansq	statistic	p.value
RAZZA	1	183,65	183,65	80,39	6,67E-19
PREL	5	795,52	159,1	69,65	1,63E-67
ETÀ PREL	1	140,3	140,3	61,42	7,31E-15
Residuals	2085	4763,06	2,28		

Tabella 4: Tabella dell'ANOVA riferita ai valori di $\ln(FEC+2)$ dei Coccidi

term	df	sumsq	meansq	statistic	p.value
RAZZA	1	858,74	858,74	276,2122	7,30E-59
PREL	5	3653,9	730,78	235,0548	1,68E-205
ETÀ PREL	1	106,81	106,81	34,3567	5,20E-09
Residuals	2456	7635,65	3,11		

Tabella 5: Tabella dell'ANOVA riferita ai valori di $\ln(FEC+2)$ degli Strongili gastro-intestinali

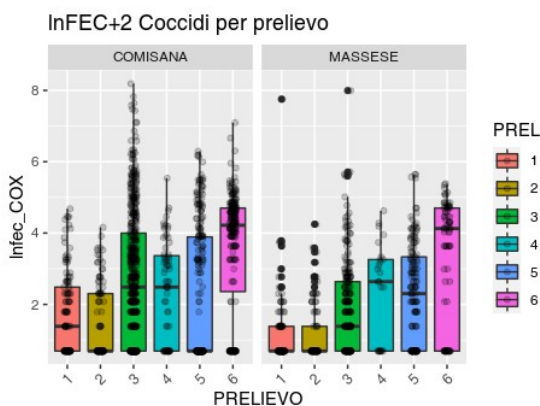


Figura 6: Variazione valori di $\ln(FEC+2)$ tra campionamenti entro e tra razze (Coccidi)

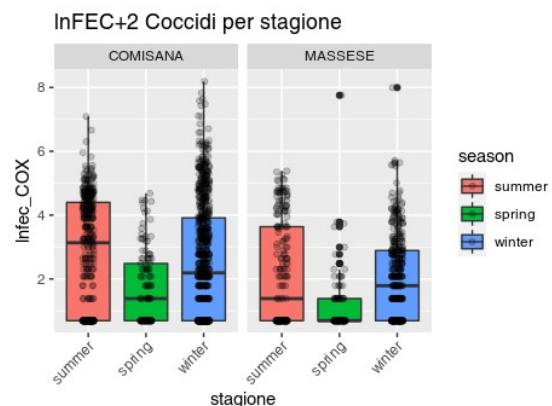


Figura 7: Variazione stagionale dei valori di $\ln(FEC+2)$ entro e tra razze (Coccidi)

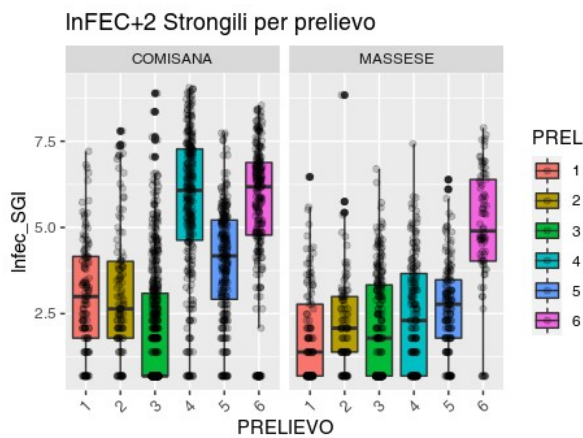


Figura 8: Variazione valori di $\ln(FEC+2)$ tra campionamenti entro e tra razze (Strongili)

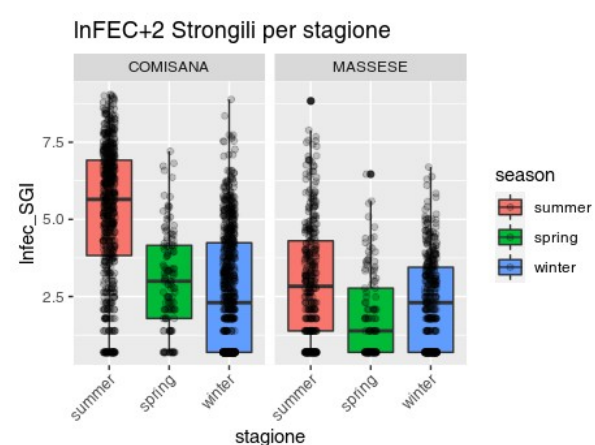


Figura 9: Variazione stagionale dei valori di $\ln(FEC+2)$ entro e tra razze (Strongili)

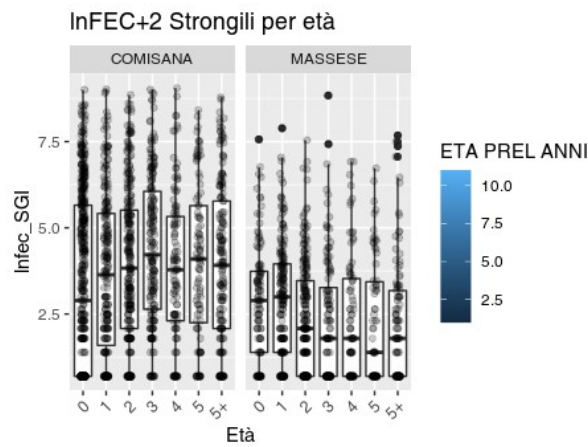


Figura 10: Variazione valori $\ln(FEC+2)$ per età (Strongili).

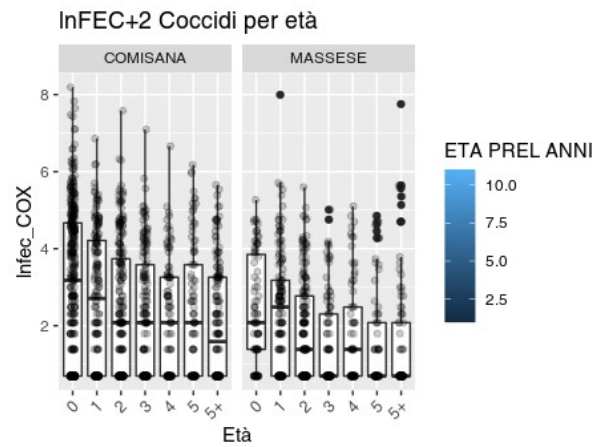


Figura 11: Variazione calori $\ln(FEC+2)$ per età (Coccidi).

Attività 7.2.2: Stima dell’ereditabilità del carattere, stima degli indici genetici e indagine della firma della selezione

Attraverso l’utilizzo dei dati di pedigree si è proceduto a stimare l’ereditabilità (h^2) del carattere fenotipico ($\ln(FEC+2)$) che indica la gravità di infestazione causata dai due nematodi considerati in questo studio con la formula classica:

$$h^2 = Vg/Vp$$

In una seconda fase, con il metodo BLUP Animal Model, sono stati calcolati gli indici genetici per il suddetto carattere nelle due popolazioni a partire dai dati di pedigree. Il modello utilizzato è il modello lineare misto:

$$y = X\beta + Za + e$$

dove y rappresenta il valore fenotipico, β rappresenta gli effetti fissi, a rappresenta gli effetti random (in questo caso i singoli animali) ed e rappresenta l’errore standard.

Il fine è quello di individuare i riproduttori che abbiano un effetto positivo sulla resistenza della prole all’infestazione da Strongili e da Coccidi, permettendo di predisporre accoppiamenti programmati finalizzati ad aumentare la resistenza alle parassitosi. Con l’ausilio dei genotipi prodotti nell’ambito dell’Azione 2.2 è stata effettuata un’analisi per stimare la probabilità che ogni singolo locus sia soggetto a selezione per la resistenza ai parassiti utilizzando un metodo bayesiano grazie al software BayeScan. Per le due razze sono stati confrontati gli animali risultati sempre infestati con valori di FEC alti per entrambi i parassiti ($FEC > 750$) contro gli animali che hanno riportato sempre valori di FEC relativamente bassi ($FEC < 250$).

RISULTATI

L’ereditabilità (h^2) del carattere $\ln(FEC+2)$ per quanto riguarda gli Strongili gastoro-intestinali è risultata essere di 0,088 nella razza Massese e di 0,117 nella razza Comisana. Per quanto riguarda i Coccidi del genere *Eimeria*, invece, l’ereditabilità (h^2) del carattere risulta essere di 0,036 nella razza Massese e di 0,022 nella razza Comisana.

Sebbene l’ereditabilità dei due caratteri sia bassa in entrambe le razze, è stata comunque sufficientemente alta da poter calcolare degli indici genetici affidabili.

Per ogni animale a cui è stato misurato il fenotipo e a tutti i suoi parenti sono stati stimati gli indici genetici attraverso l’utilizzo del pacchetto breedR dell’ambiente di programmazione statistica R. Gli indici così computati si trovano su scala uno, per cui i valori negativi più bassi stanno a indicare i riproduttori migliori per la selezione di animali resistenti. Al fine di rendere gli EBV più facilmente leggibili, gli stessi sono stati invertiti di segno e riportati su scala 100 ± 5 , in questo modo i

riproduttori migliori per selezionare la resistenza ai nematodi gastro-intestinali sono quelli con EBV maggiore di 100. I migliori arieti per la selezione di animali resistenti ai parassiti sono riportati in Tabella 6,7,8,9 alla fine del testo.

L'esplorazione del genotipo per la ricerca di locus associati alla selezione per la resistenza ai parassiti (considerando il valore totale di FEC) effettuata col software BayeScan non ha dato alcun risultato utile. Infatti in nessuna delle due razze è stato rilevato alcun valore outlier di *Fst* con valori di significatività $q \leq 0,05$ per nessuno dei circa 50 mila loci analizzati in ciascuna popolazione.

CONCLUSIONI

Alla luce dei risultati ottenuti è possibile dire che i valori di FEC dei nematodi intestinali sono certamente influenzati sia da variabili ambientali come la stagione e l'alimentazione degli animali, che da variabili intrinseche dell'animale come l'età e la razza. Anche se è stato possibile stimare degli EBV per la selezione alla resistenza ai parassiti, la correlazione tra questo carattere e il genotipo è risultata essere debole. Una delle probabili cause della mancata correlazione tra genotipo e fenotipo potrebbe essere la struttura delle popolazioni analizzate, infatti lavorando all'interno di nuclei chiusi (come in questo caso) è difficile apprezzare l'effetto dei singoli loci a causa della scarsa variabilità genetica e la ridotta numerosità delle popolazioni. Potrebbe aver influenzato i risultati ottenuti anche lo SNPchip medium-density utilizzato per la genotipizzazione: con fenotipi così scarsamente ereditabili è difficile riuscire a individuare i loci correlati alla selezione degli stessi, a meno che non vi sia un forte linkage tra il locus coinvolto e quelli adiacenti, mentre con uno SNPchip high-density si sarebbero potuti analizzare più loci aumentando le probabilità di ottenere risultati significativi. Infine, allo scopo di indagare più a fondo sull'argomento, si suggerisce di prendere in considerazione per sperimentazioni future anche delle variabili che indichino lo stato fisiologico e di salute degli animali coinvolti quali il *Body Condition Score* per valutare lo stato di ingrassamento e l'utilizzo del metodo *FAMACHA*® per stimare il livello di anemia.

In conclusione ad oggi possiamo dire che per la lotta ai nematodi gastrointestinali la strategia migliore è quella di ottimizzare il management ambientale e sanitario dell'allevamento. Dai risultati ottenuti in questo studio si evince che piani di accoppiamento mirati possono integrare la suddetta strategia e sostituirla, ma nel lungo periodo.

Sire	value	s.e.	EBV100	Sire	value	s.e.	EBV100	Sire	value	s.e.	EBV100
IT052000937249	-0,1892	0,211496	118	IT052000891630	-0,02382	0,231096	102	IT052000912318	0,038735	0,219969	97
IT052000892481	-0,16485	0,230146	116	IT052000884412	-0,01888	0,232188	102	IT052000912458	0,034838	0,219465	97
IT052000884188	-0,13155	0,227897	113	IT052000937744	-0,01545	0,230247	102	IT052000937302	0,037597	0,231968	97
IT052000937039	-0,13612	0,227353	113	IT052000937310	-0,01978	0,227222	102	IT052000937717	0,036041	0,221299	97
IT052000937061	-0,1351	0,225319	113	IT052000857811	-0,00796	0,225209	101	IT052000937055	0,038542	0,230154	97
IT052000884145	-0,12096	0,227362	112	IT052000884146	-0,00655	0,228003	101	IT052000837880	0,045923	0,229042	96
IT052000892560	-0,12162	0,229378	112	IT052000884156	-0,00913	0,222269	101	IT052000858000	0,042869	0,232654	96
IT052000892546	-0,1026	0,228936	110	IT052000892456	-0,00467	0,225921	101	IT052000867825	0,046826	0,224838	96
IT052000884173	-0,09106	0,230041	109	IT052000936997	-0,00541	0,221362	101	IT052000884357	0,045366	0,230336	96
IT052000937721	-0,09316	0,224674	109	IT052000937010	-0,00368	0,223835	101	IT052000891690	0,041892	0,229239	96
IT052000937229	-0,09221	0,227878	109	IT052000892537	-0,00421	0,23332	101	IT052000892440	0,040181	0,223003	96
IT052000966798	-0,09066	0,233023	109	IT052000838041	0,004924	0,231367	100	IT052000912421	0,041792	0,224443	96
IT052000911821	-0,08326	0,228558	108	IT052000857920	0,000277	0,229746	100	IT052000967334	0,041513	0,229606	96
IT052000892500	-0,08546	0,226843	108	IT052000867838	0,002913	0,229188	100	IT052000967389	0,048063	0,229222	96
IT052000912498	-0,07508	0,227348	107	IT052000884125	-0,00082	0,233061	100	IT052000857890	0,053221	0,227706	95
IT052000891658	-0,0586	0,233665	106	IT052000892569	-0,00292	0,23028	100	IT052000884172	0,050925	0,232352	95
IT052000891699	-0,05926	0,228979	106	IT052000912453	-0,00292	0,229163	100	IT052000892581	0,054084	0,227625	95
IT052000858006	-0,05412	0,229653	105	IT052000937243	-0,00274	0,225286	100	IT052000912439	0,053543	0,226688	95
IT052000884337	-0,04901	0,227799	105	IT052000967314	-0,00068	0,227247	100	IT052000967270	0,05632	0,228373	95
IT052000884121	-0,05253	0,232419	105	IT052000937059	0,005284	0,222117	100	IT052000967283	0,054392	0,225	95
IT052000891644	-0,0484	0,227065	105	IT052000937653	0,006499	0,230091	100	IT052000884343	0,071163	0,227232	94
IT052000892554	-0,04999	0,227316	105	IT052000937684	0,003595	0,232808	100	IT052000884411	0,070513	0,230253	94
IT052000912477	-0,04811	0,229961	105	IT052000884345	0,008223	0,2329	99	IT052000892573	0,06248	0,229664	94
IT052000967338	-0,04694	0,227639	105	IT052000884341	0,008109	0,230287	99	IT052000936992	0,063928	0,225819	94
IT052000937132	-0,05087	0,230212	105	IT052000891701	0,01737	0,230331	99	IT052000884147	0,079295	0,225684	93
IT052000937254	-0,04874	0,226721	105	IT052000891738	0,013775	0,231098	99	IT052000884178	0,076999	0,229801	93
IT052000867859	-0,03892	0,229846	104	IT052000892497	0,010567	0,226994	99	IT052000937214	0,08025	0,22235	93
IT052000884152	-0,04156	0,225096	104	IT052000892444	0,008935	0,232184	99	IT052000966812	0,078354	0,219948	93
IT052000891736	-0,03933	0,225644	104	IT052000967346	0,016906	0,226915	99	IT052000838003	0,090342	0,229117	92
IT052000891636	-0,03626	0,23091	104	IT052000937204	0,016024	0,223116	99	IT052000867839	0,085633	0,229477	92
IT052000912407	-0,042	0,232387	104	IT052000937007	0,009315	0,224329	99	IT052000967280	0,085166	0,231973	92
IT052000937233	-0,03995	0,22865	104	IT052000937002	0,017971	0,232977	99	IT052000937686	0,091963	0,224728	92
IT052000892478	-0,04451	0,231535	104	IT052000937201	0,013163	0,226835	99	IT052000892476	0,093217	0,223238	91
IT052000867883	-0,03361	0,230397	103	IT052000011593	0,024192	0,230093	98	IT052000937187	0,101289	0,220613	91
IT052000884160	-0,03013	0,229755	103	IT052000857937	0,019818	0,232661	98	IT052000884350	0,108138	0,227093	90
IT052000892486	-0,03288	0,228181	103	IT052000884212	0,019063	0,229131	98	IT052000937139	0,124159	0,224126	89
IT052000937752	-0,02469	0,233492	103	IT052000892482	0,021189	0,226617	98	IT052000884162	0,132466	0,223732	88
IT052000937645	-0,03232	0,228892	103	IT052000912392	0,01847	0,227795	98	IT052000884387	0,126304	0,230744	88
IT052000805934	-0,02203	0,231816	102	IT052000967266	0,026052	0,227367	98	IT052000912415	0,125562	0,220336	88
IT052000857916	-0,01624	0,231442	102	IT052000966788	0,025437	0,228526	98	IT052000967315	0,131393	0,226978	88
IT052000867856	-0,01962	0,23236	102	IT052000937255	0,020775	0,226825	98	IT052000967340	0,152807	0,22834	86
IT052000884174	-0,01752	0,233063	102	IT052000837959	0,037249	0,229786	97	IT052000967393	0,174708	0,222311	84
IT052000884140	-0,02069	0,233567	102	IT052000867727	0,036194	0,230797	97				

Tabella 7: EBV della resistenza ai Coccidi negli arieti di razza Massese

Sire	value	s.e.	EBV100	Sire	value	s.e.	EBV100	Sire	value	s.e.	EBV100
IT052000937204	-0,62214	0,379305	120	IT052000966798	-0,08347	0,421444	103	IT052000857920	0,106079	0,419077	97
IT052000891736	-0,36377	0,391204	112	IT052000857916	-0,06624	0,426151	102	IT052000867856	0,106071	0,430507	97
IT052000912392	-0,35957	0,40938	112	IT052000867839	-0,06236	0,415125	102	IT052000967340	0,099265	0,400237	97
IT052000937233	-0,30898	0,399904	110	IT052000884350	-0,06906	0,40646	102	IT052000967346	0,087078	0,390014	97
IT052000858006	-0,27893	0,416446	109	IT052000937243	-0,04608	0,399346	102	IT052000967338	0,085428	0,395619	97
IT052000891630	-0,27944	0,425002	109	IT052000937187	-0,05376	0,376923	102	IT052000937752	0,093963	0,426498	97
IT052000892456	-0,26661	0,404331	109	IT052000937039	-0,05539	0,39612	102	IT052000936992	0,102473	0,388748	97
IT052000967266	-0,28235	0,400008	109	IT052000937310	-0,04998	0,399761	102	IT052000892537	0,101657	0,426383	97
IT052000867883	-0,24518	0,414016	108	IT052000966788	-0,04594	0,392734	102	IT052000857890	0,124928	0,410113	96
IT052000891636	-0,24275	0,420726	108	IT052000937055	-0,0601	0,417064	102	IT052000867727	0,118857	0,420132	96
IT052000937721	-0,23138	0,385955	108	IT052000867825	-0,01929	0,401945	101	IT052000937302	0,138336	0,422186	96
IT052000937061	-0,23925	0,399037	108	IT052000884160	-0,03567	0,420504	101	IT052000937653	0,121763	0,412931	96
IT052000937229	-0,26142	0,402057	108	IT052000884174	-0,0377	0,431893	101	IT052000838003	0,160593	0,417019	95
IT052000884156	-0,20419	0,390201	107	IT052000884121	-0,0359	0,425724	101	IT052000867859	0,168118	0,419303	95
IT052000891699	-0,21623	0,409281	107	IT052000891644	-0,02516	0,406555	101	IT052000884212	0,14314	0,407278	95
IT052000912439	-0,2172	0,403814	107	IT0520008891738	-0,01907	0,423173	101	IT052000884337	0,165153	0,40393	95
IT052000912477	-0,21769	0,416549	107	IT052000892500	-0,02029	0,406933	101	IT052000884172	0,150021	0,428765	95
IT052000967314	-0,21842	0,39566	107	IT052000937010	-0,02417	0,391978	101	IT052000967389	0,154627	0,404891	95
IT052000891701	-0,18786	0,41855	106	IT052000867838	0,010182	0,415108	100	IT052000967315	0,151657	0,392176	95
IT052000884387	-0,17832	0,415698	106	IT052000884125	0,001904	0,43215	100	IT052000937255	0,147676	0,399669	95
IT052000892569	-0,19987	0,419531	106	IT052000884140	-0,00604	0,43112	100	IT052000937645	0,143369	0,399721	95
IT052000892486	-0,18809	0,413933	106	IT052000891690	0,00628	0,415996	100	IT052000884146	0,188681	0,40636	94
IT052000912453	-0,17811	0,412	106	IT052000892497	0,00895	0,405769	100	IT052000884178	0,186813	0,418195	94
IT052000912407	-0,17787	0,428118	106	IT052000892481	-0,01262	0,418612	100	IT052000805934	0,218381	0,428575	93
IT052000937249	-0,19665	0,348612	106	IT052000912415	-0,00918	0,384937	100	IT052000858000	0,23106	0,417425	93
IT052000936997	-0,17146	0,37393	106	IT052000967283	0,006157	0,384012	100	IT052000884188	0,218796	0,409938	93
IT052000912498	-0,18982	0,402312	106	IT052000937059	-0,00986	0,380839	100	IT052000892554	0,212447	0,406866	93
IT052000837880	-0,14853	0,417791	105	IT052000937744	0,001518	0,413254	100	IT052000892573	0,209325	0,41209	93
IT052000884412	-0,14797	0,425539	105	IT052000937254	0,007428	0,390999	100	IT052000892581	0,219724	0,402204	93
IT052000892444	-0,15421	0,424616	105	IT052000892478	-0,00133	0,424809	100	IT052000937002	0,213633	0,425846	93
IT052000857811	-0,13675	0,401663	104	IT052000857937	0,04416	0,431023	99	IT052000884357	0,232934	0,414803	92
IT052000884147	-0,1269	0,402909	104	IT052000912421	0,027939	0,396228	99	IT052000937214	0,285653	0,382975	91
IT052000884152	-0,11162	0,399039	104	IT052000912458	0,04514	0,379481	99	IT052000884162	0,320512	0,396619	90
IT052000884411	-0,13674	0,4196	104	IT052000937007	0,03479	0,384768	99	IT052000937132	0,321374	0,411955	90
IT052000892440	-0,12733	0,39141	104	IT052000966812	0,036009	0,365385	99	IT052000937201	0,322044	0,397119	90
IT052000892482	-0,13418	0,398174	104	IT052000011593	0,059039	0,422105	98	IT052000884173	0,327344	0,41621	89
IT052000937684	-0,12857	0,4231	104	IT052000884145	0,04874	0,410972	98	IT052000884343	0,381368	0,407948	88
IT052000837959	-0,09257	0,41996	103	IT052000884341	0,067464	0,421387	98	IT052000937717	0,358405	0,372028	88
IT052000884345	-0,07811	0,428643	103	IT052000892560	0,073919	0,415764	98	IT052000911821	0,400027	0,408745	87
IT052000891658	-0,10669	0,430401	103	IT052000967280	0,06177	0,422579	98	IT052000937139	0,389699	0,388491	87
IT052000892546	-0,10529	0,410194	103	IT052000967270	0,075578	0,405204	98	IT052000967393	0,420539	0,373255	86
IT052000892476	-0,08949	0,392394	103	IT052000937686	0,06973	0,393066	98	IT052000967334	0,509134	0,404964	84
IT052000912318	-0,097	0,384326	103	IT052000838041	0,104716	0,426807	97				

Tabella 9: EBV della resistenza agli Strongili gastro-intestinali negli arieti di razza Massese

Il responsabile scientifico:

Prof. Fabio Pilla

